

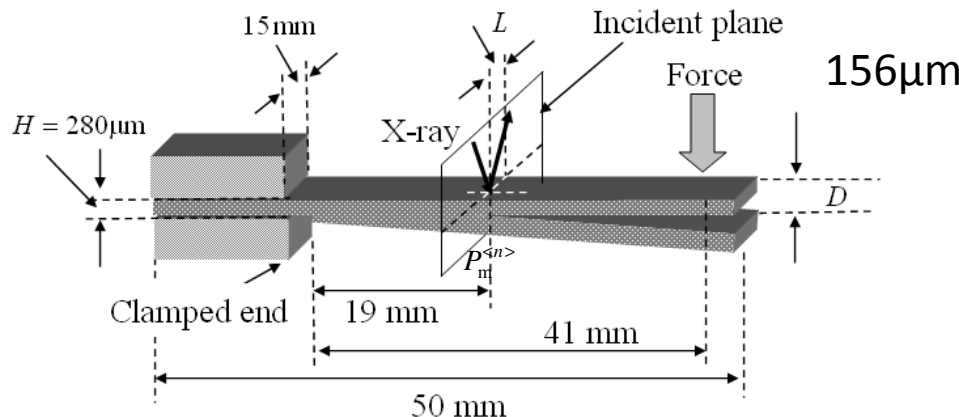
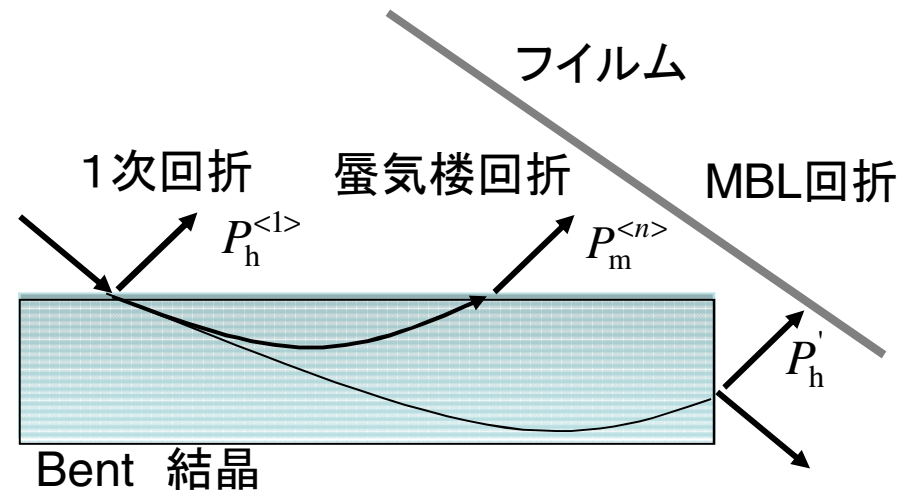
X線蜃氣樓回折とその干渉縞

深町共榮、平野健二、Jongsukswat Sukswat、金松喜信、
根岸利一郎、平野馨一^A、川村隆明^B
埼玉工大、KEK-PF^A、山梨大学^B

1. セクショントポグラフにおける蜃氣樓回折
2. 蜇氣樓回折の研究の経緯
3. 蜇氣樓回折の原理
4. 湾曲結晶内の屈折ビーム
5. 蜇氣樓トポグラフ
6. 蜇氣樓回折の応用

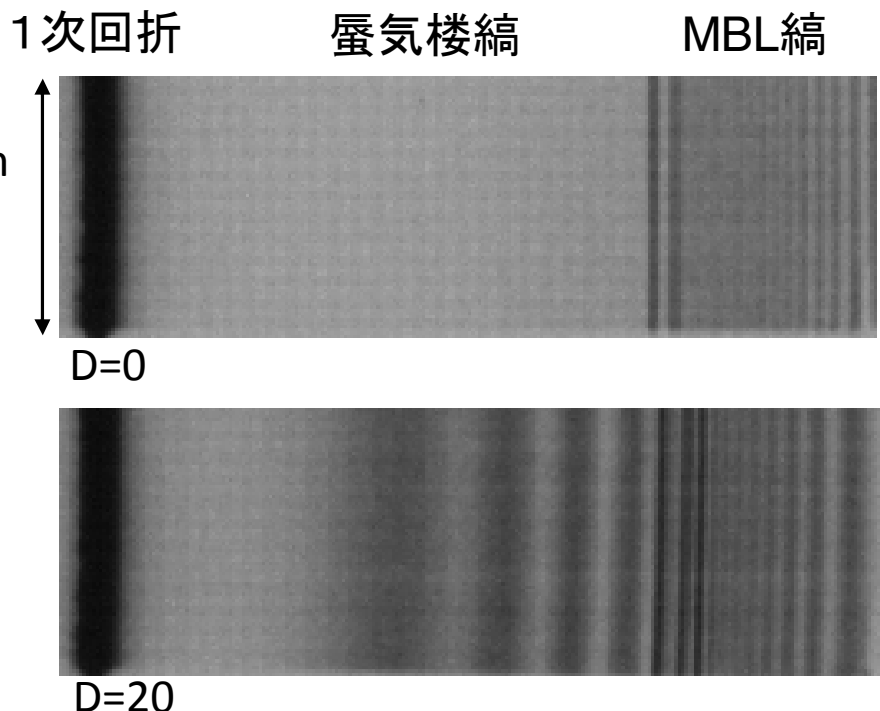
X線蜃氣楼干渉縞(回折方向のセクショントポグラフ)

光が屈折率が大きい方向に曲がると同様に、湾曲結晶のX線屈折ビームは格子面間隔が小さい方向に曲がる。このため、Braggケースでは屈折ビームは、入射面側に舞い戻り、結晶表面で回折して2次X線として出てくる。この回折を蜃氣楼回折と呼ぶ。



カンチレバー

Si 220
 $L=2.2\text{mm}, H=0.28\text{mm}$



X線蜃気楼干渉縞の研究の経緯

- (1) Penning and Polder (PP,1961):歪結晶の動力学理論(PP)、(Laueケース)
- (2) Kato (1964)::歪結晶の動力学理論(ヘルマーの定理)
- (3) Bonze(1964): Braggケースの理論と実験
- (4)Gronkowski and Malgrange(GM,1984) : PPを対称Braggケースへ拡張
- (5) Chukovski and Petrushen (1988):球面波近似(Braggケースのトポ)、
新干渉縞（蜃気楼縞）、縞間隔を導く
- (6) Authier (2001) : PPとGM理論で蜃気楼回折(Mirage peak)を統一的に述べる
- (7) Yan et al. (2007) : 球面波で蜃気楼回折を解析
- (8) Fukamachi et al. (2010) : 平面波近似による蜃気楼縞とMBL縞

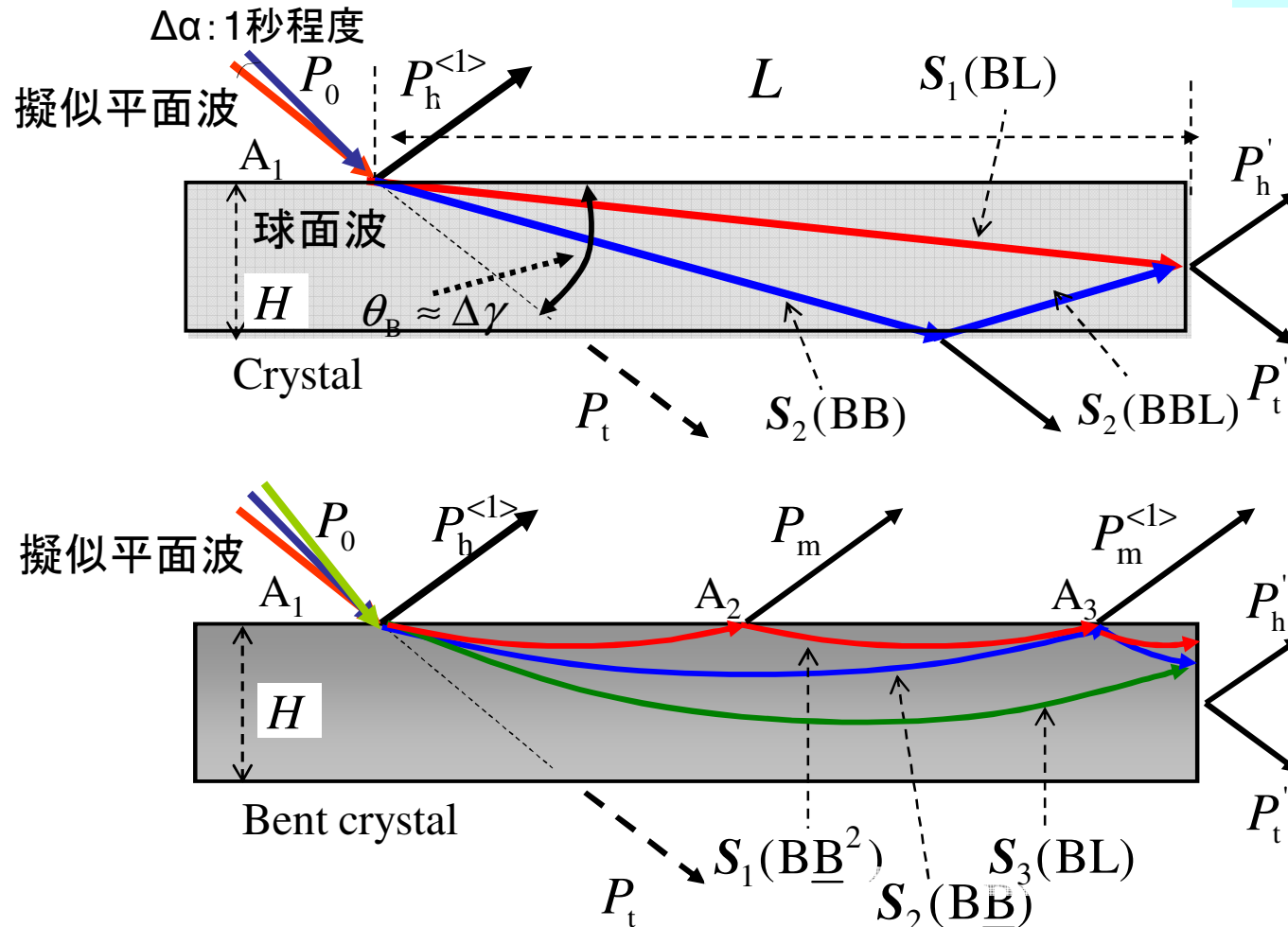
(1),(4),(6)は平面波近似

- (1) Philips Res. Rep 16, (1961) 419-440.
- (2) JPSJ 19,(1964) 67-71.
- (3) Z. Phys. 177 (1964)529-542.
- (4) Acta Cryst. A40 (1984) 507-514.
- (5) Acta Cryst. A44 (1988) 322-331.
- (6) “*Dynamical Theory of X-ray Diffraction*”, Oxford Univ. Press (2001).
- (7) Appl. Cryst. 40 (2007) 322-331.
- (8) Acta Cryst A66 (2010) 421-426.

多重Bragg-Laue(MBL)干渉縞と蜃気楼干渉縞

異常透過が著しい入射角を選ぶ(全反射領域から1秒程度はずす)
入射ビームが擬似平面波の場合、屈折ビームは球面波になる。

角度増幅効果: $\Delta\gamma/\Delta\alpha=10^5$
入射ビームの発散角: $\Delta\alpha$
屈折ビームの角度幅: $\Delta\gamma$



P_m : 蜃気楼回折、 $P_m^{<1>}$: 蜃気楼干渉縞

MBL干渉縞:
BLとBBLケースの二つ
屈折ビームが側面で
干渉して生じる。

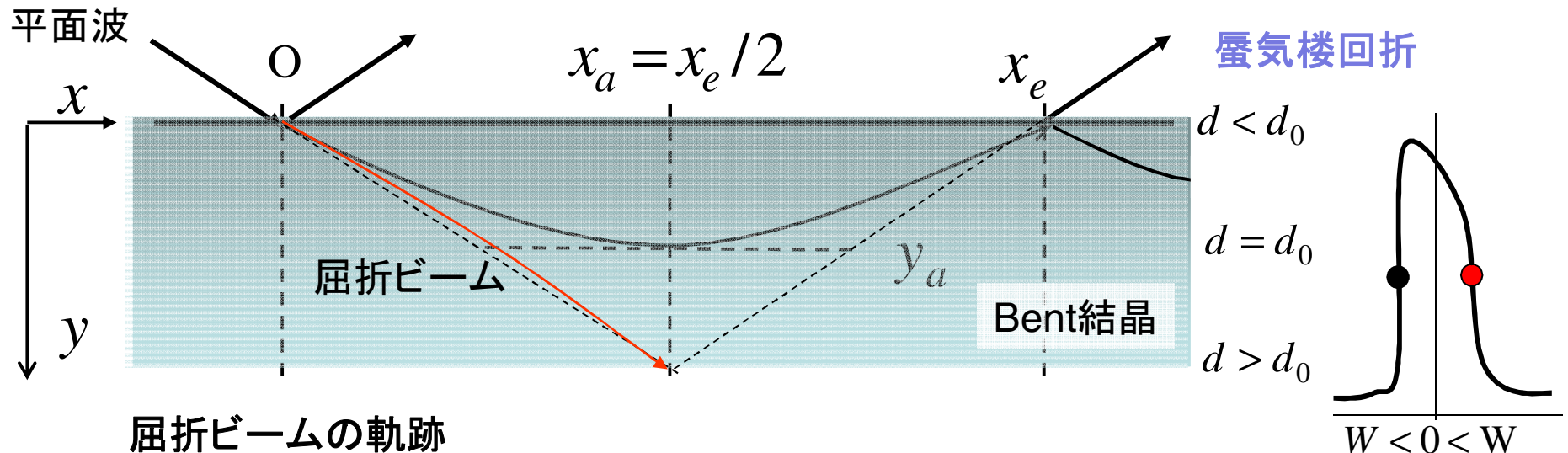
MBL干渉縞は、角度
増幅効果によって得ら
れる干渉縞である。

この角度増幅効果は、
結晶の歪に非常に敏
感である。

歪勾配βが一定の結
晶では、屈折ビーム
の軌跡は双曲線とな
り、蜃気楼回折を起
し、蜃気楼縞を作る。

X線蜃氣樓効果

(歪勾配が一定の結晶における屈折ビームの軌跡)



$$\left(\frac{\beta y}{\tan \theta_B} + W \right)^2 - [\beta x + s(W)(W^2 - 1)^{1/2}]^2 = 1$$

$s(W)$ は、 $W > 0$, +1, $W < 0$, -1

$\beta W < 0$ $\beta W > 0$ では異常透過が無い

$$\beta = \frac{\lambda}{C(\chi_h \chi_{-h})^{1/2} \cos \theta_B} \frac{\partial^2 (\mathbf{h} \cdot \mathbf{u})}{\partial s_0 \partial s_h}, \quad (\text{歪勾配に依存})$$

$$W = \frac{\Delta \theta \sin 2\theta_B}{C(\chi_h \chi_{-h})^{1/2}}$$

$$(\text{双曲線の頂点}) \quad x_a = \frac{x_e}{2} = -\frac{s(W)(W^2 - 1)^{1/2}}{\beta}, \quad y_a = -\frac{\tan \theta_B}{\beta} [W - s(W)]$$

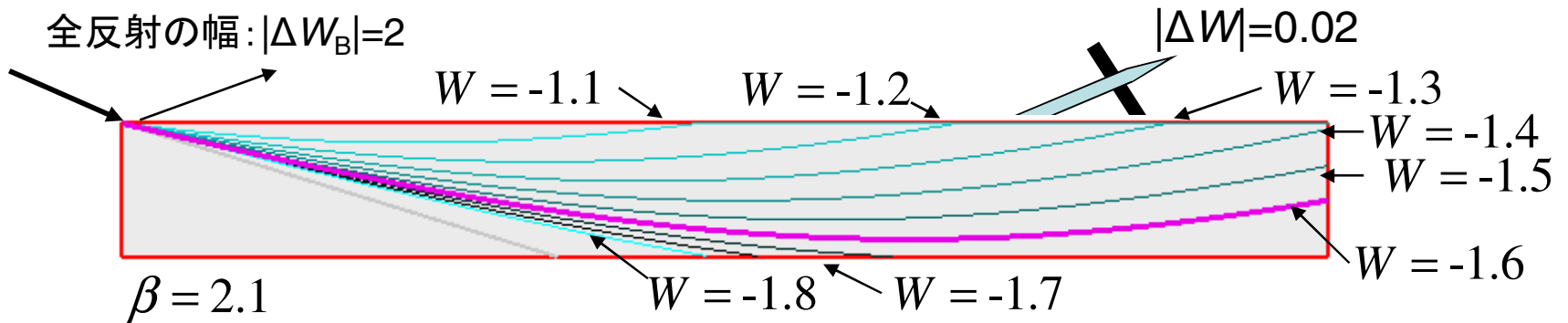
Gronkowski and Malgrange: Acta Cryst. A40 (1984) 507-514.

X線蜃氣樓効果

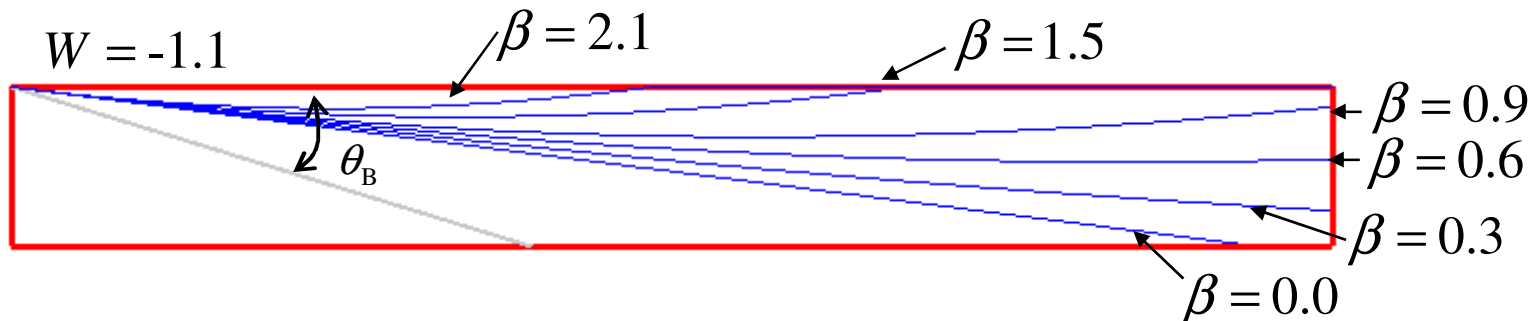
(歪勾配の変化と屈折ビームの軌跡)

蜃氣樓回折の一部を取り出すと極めて小さい発散角のビームが得られる。

$$\frac{|\Delta W|}{|\Delta W_B|} = 0.01$$



β が 2.1mm^{-1} の時、 W を-1から-1.8まで変化させた場合の軌跡

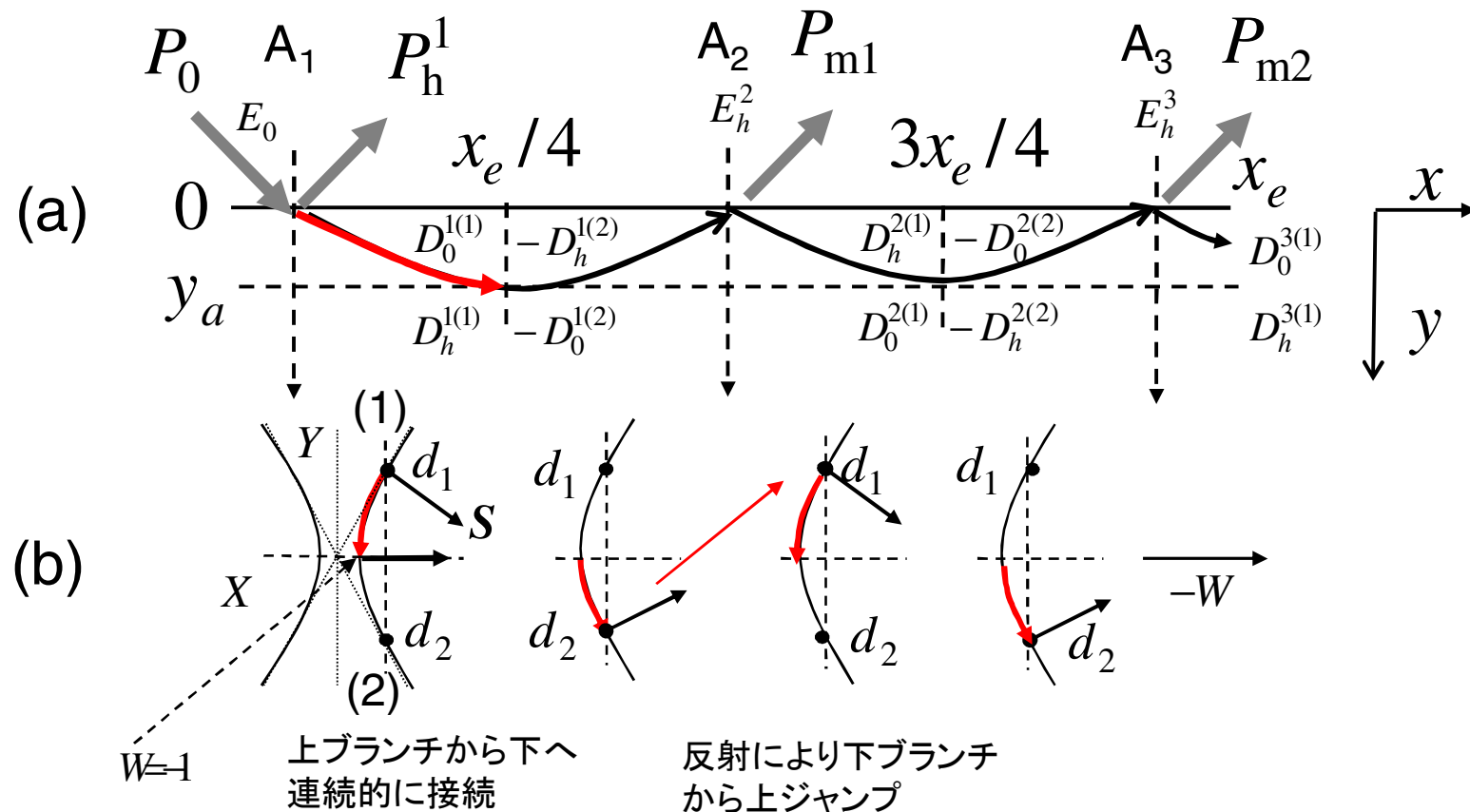


W が-1.1の時、 $\beta(\text{mm}^{-1})$ を0.0から2.1まで変化させた場合の軌跡

入射位置から側面まで:1mm、結晶厚さ:0.1mm

屈折ビームの伝播経路と発散点

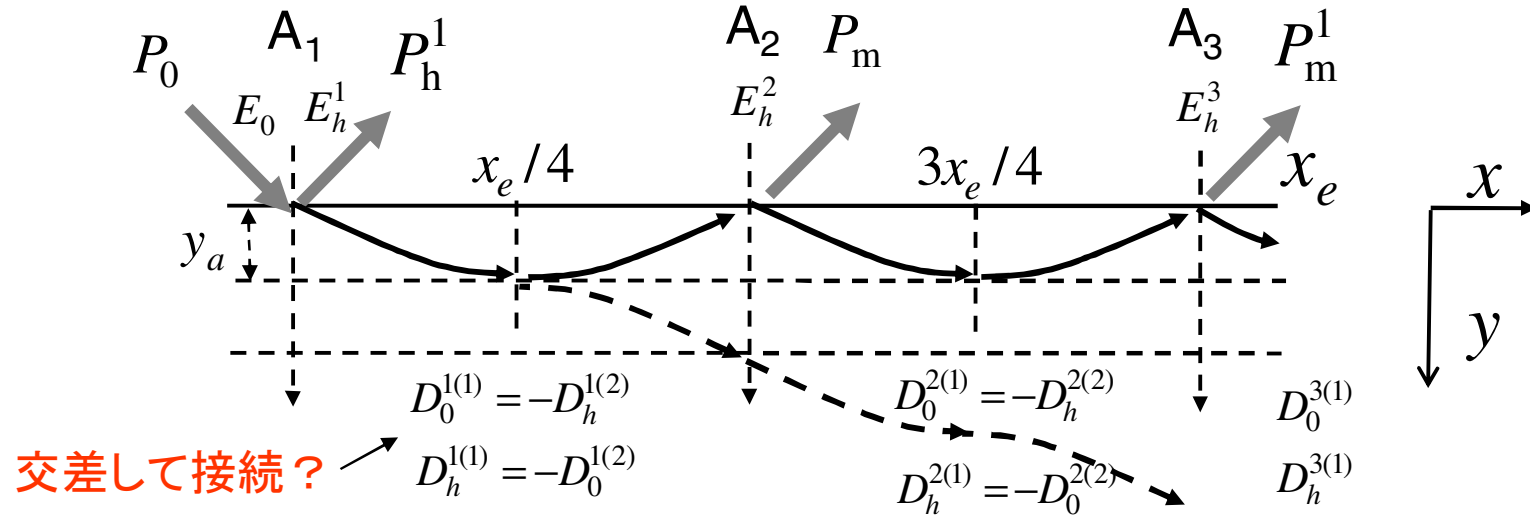
屈折ビーム S : Poynting vector



蜃気楼干渉縞を求める手順

- ①境界条件から反射係数を求める。
- ②伝播経路沿って位相シフトを求める。
- ③2ビームの干渉を求める。

屈折ビームの伝播における境界条件(反射係数を求める)



$$E_0 = D_0^{1(1)}, \quad r_1 = D_h^{1(1)} / D_0^{1(1)}, \quad E_h^1 = D_h^{1(1)} = r_1 D_0^{1(1)} = r_1 E_0$$

A₁において

$$D_0^{1(2)} + D_0^{2(1)} = 0 \quad D_h^{1(2)} + D_h^{2(1)} = E_h^2$$

$$E_h^2 = -(1 - r_1^2) E_0$$

A₂において

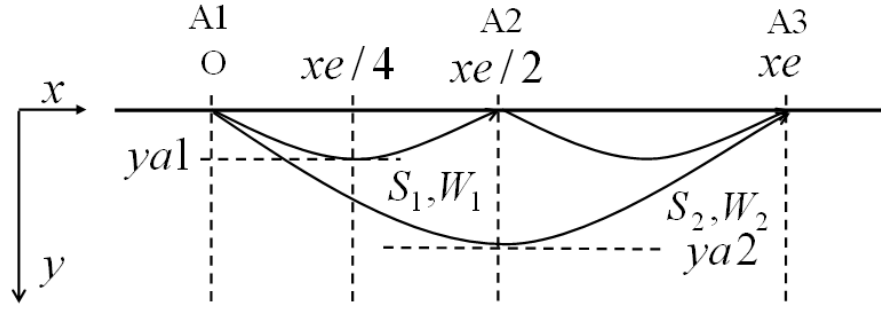
$$E_h^3 = -r_1(1 - r_1^2) E_0$$

A₃以上

$$E_h^n = -(r_1)^{n-2} (1 - r_1^2) E_0, \quad n \geq 2$$

$$r_1 = -[-W - (W^2 - 1)^{1/2}] \quad : \text{吸収が無視できる場合}$$

伝播距離による位相シフトと蜃気楼干渉縞



$$W_1 \rightarrow R_1 e^{i\theta_1} \quad W_2 \rightarrow R_2 e^{i\theta_2}$$

$$R_0 = R_1 e^{i\theta_1} + R_2 e^{i\theta_2} = e^{i\theta_1} \{ R_1 + R_2 e^{i(\theta_2 - \theta_1)} \}$$

伝播距離の変化に伴い波数が
変化する。
双曲線の頂点では、波動ベクトル
の方向は結晶表面と平行に
なる。

$$\Delta\theta = \theta_2 - \theta_1 = (\theta_{x2} - \theta_{x1}) + (\theta_{y2} - \theta_{y1}) = \Delta\theta_x + \Delta\theta_y$$

$$\theta_1 = \int \mathbf{k}_1 \cdot d\mathbf{r}_1 = \int k_{x1} dx_1 + \int k_{y1} dy_1$$

$$\theta_2 = \int \mathbf{k}_2 \cdot d\mathbf{r}_2 = \int k_{x2} dx_2 + \int k_{y2} dy_2$$

$$\theta_1 = 4 \left[\int_0^{x/4} k_{x1} dx_1 + \int_0^{ya1} k_{y1} dy_1 \right]$$

$$\theta_2 = 2 \left[\int_0^{x/2} k_{x2} dx_2 + \int_0^{ya2} k_{y2} dy_2 \right]$$

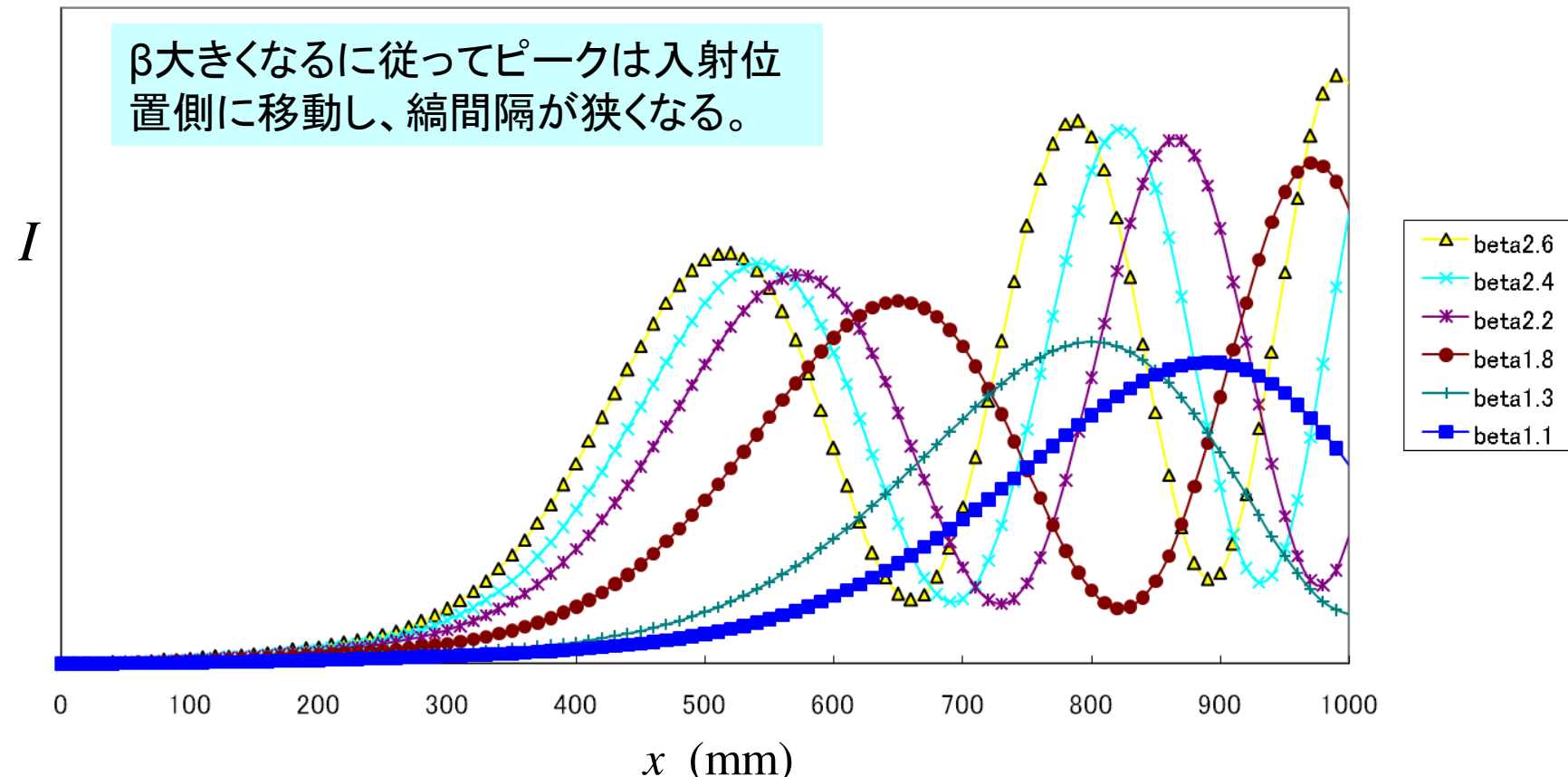
二つのビームの重ね合わせ

$$\begin{aligned} R_1 &= -(1 - r_1^2), \\ R_2 &= -r_1(1 - r_1^2), \\ I &= |R_0|^2 \end{aligned}$$

蜃氣樓縞

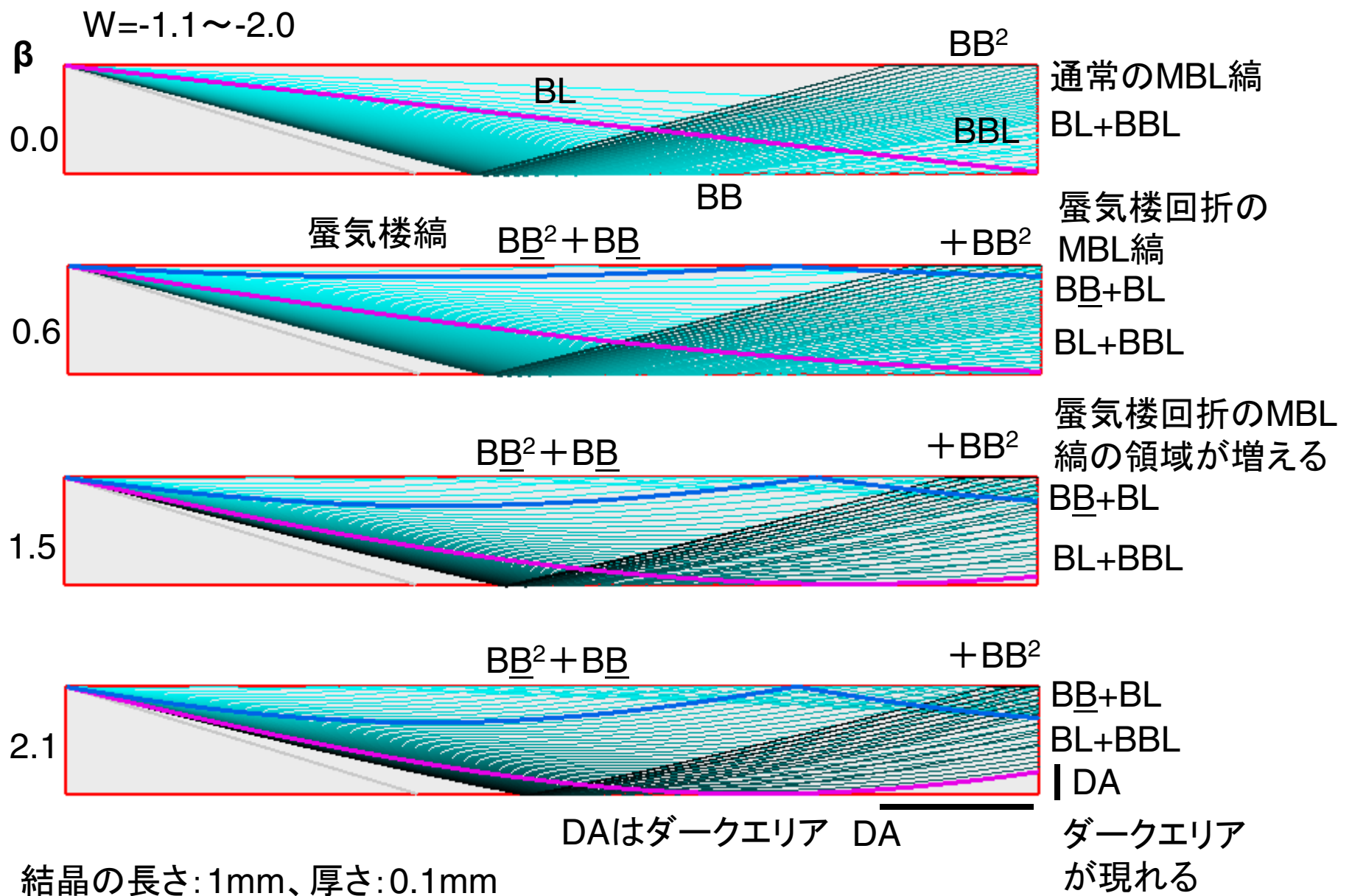
Si 220、厚さ110μm

$$I = R_1^2 + R_2^2 + 2R_1R_2\cos(\Delta\theta)$$



入射位置からの距離

発散ビームの軌跡



Bent結晶のセクショントポグラフ

湾曲結晶におけるBraggケースのセクショントポグラフの回折像を理論的に考察。

- ・結晶表面の2次回折には蜃気楼縞が得られる。

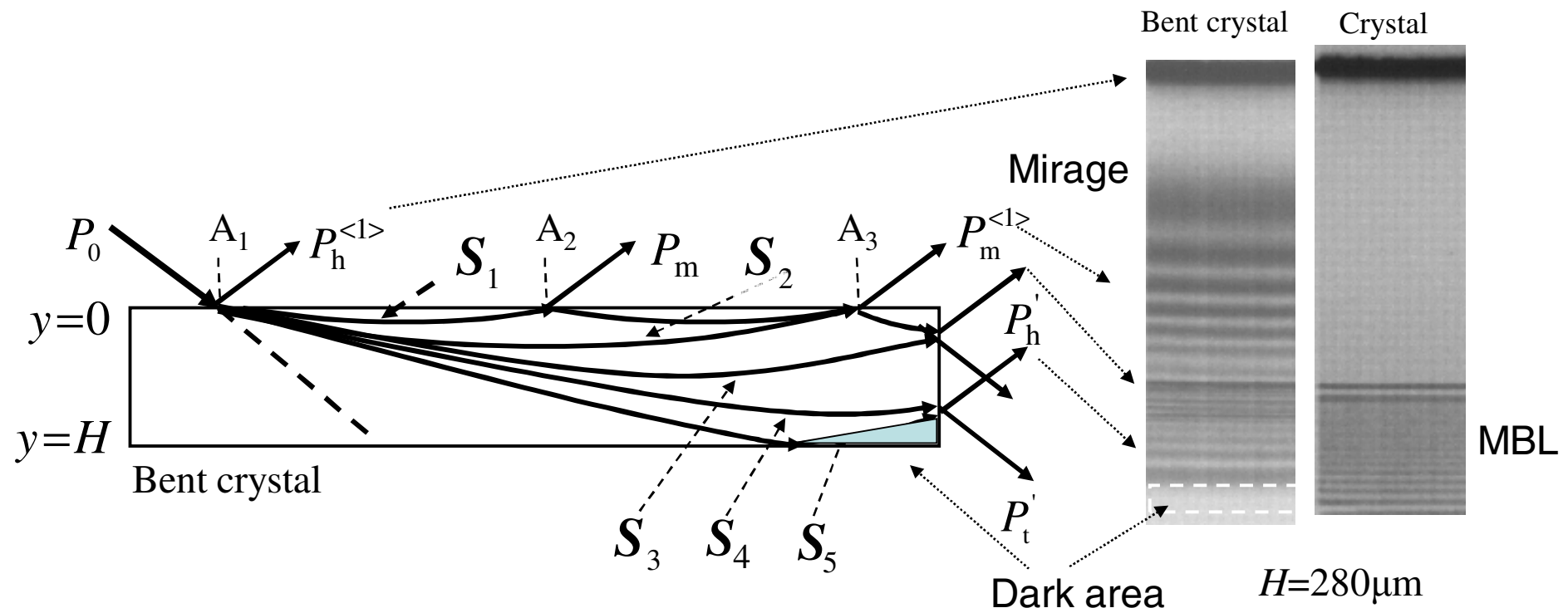
- ・縞のピークは β が増大すると入射位置側にずれ、また縞間隔が狭くなる。

- ・側面回折においては、二つのタイプの干渉縞ある。

- ・入射面側には、蜃気楼反射のビームとBL型ビームとの干渉縞。

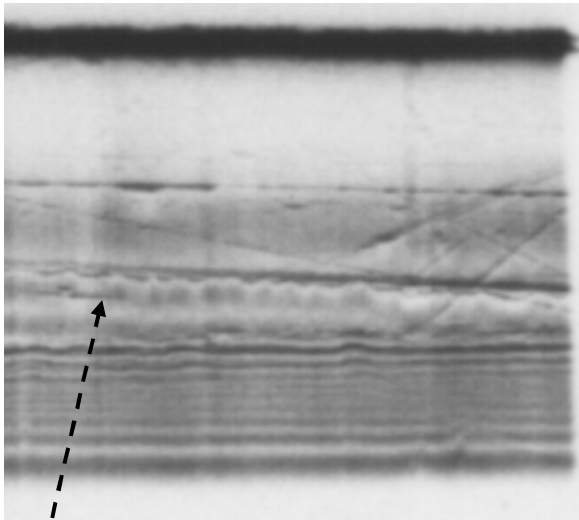
- ・底面側には、通常のMBL干渉縞。

- ・側面側の底面および底面側の側面には屈折ビームの届かない領域がある。

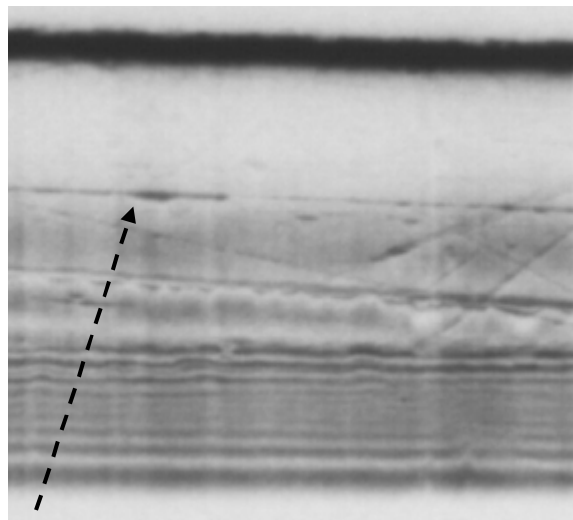


蜃氣樓回折で結晶表面及び内部の欠陥を見る

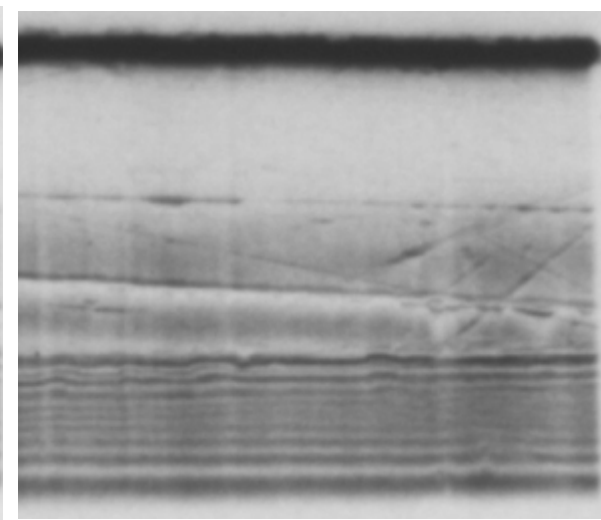
D=90



D=80



D=70



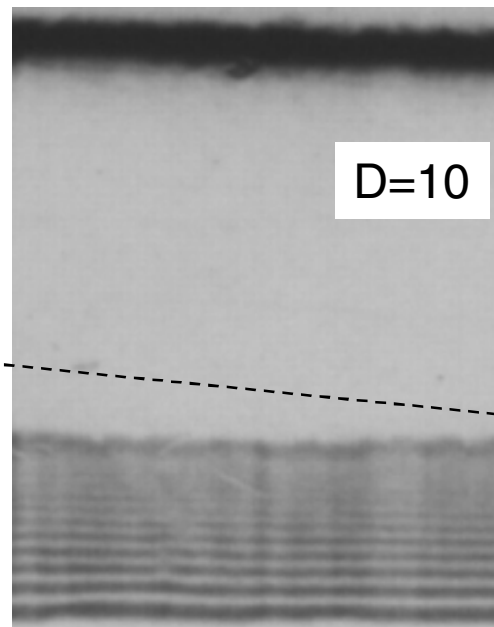
結晶内部の欠陥が蜃氣樓干渉縞に現れる。

蜃氣樓回折が起きると、結晶表面の傷が見える。

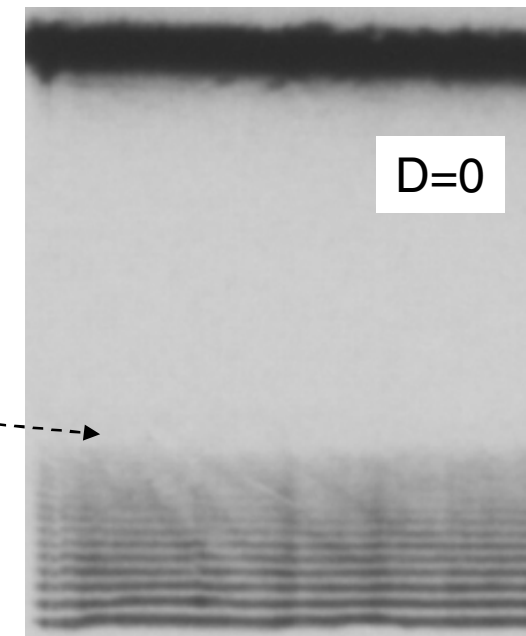
完全結晶：屈折ビームは側面の上側に届かない。

湾曲結晶：屈折ビームが側面の上側に届くようになる。

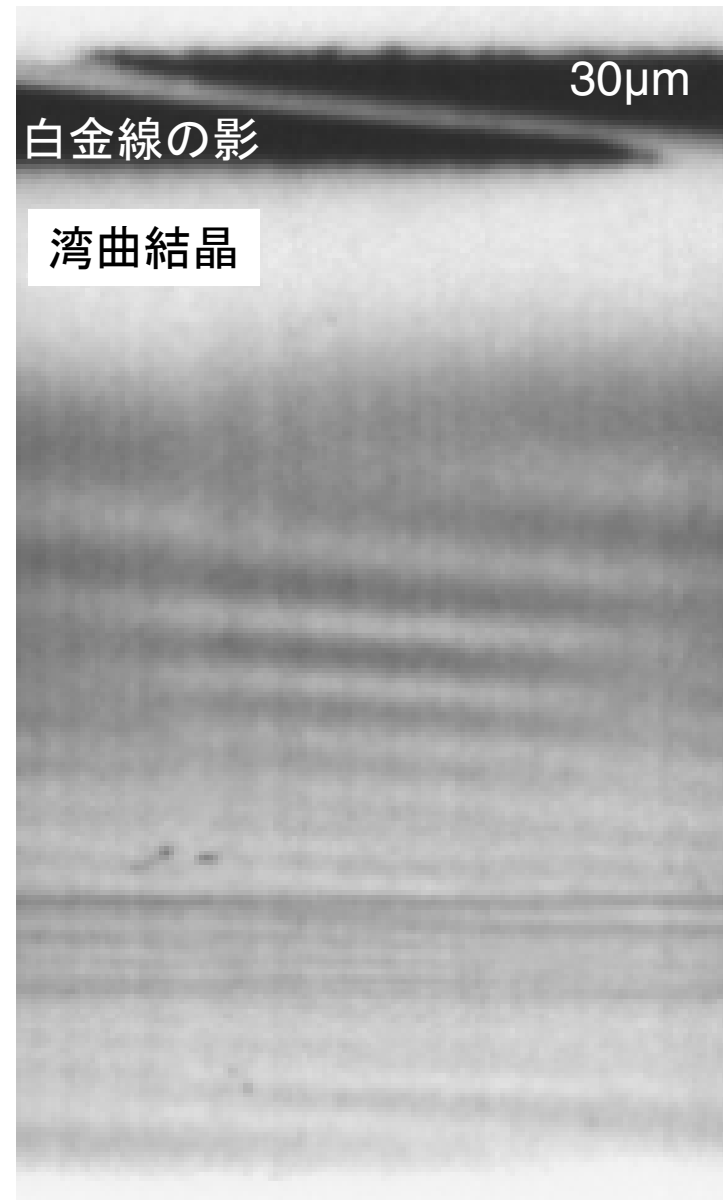
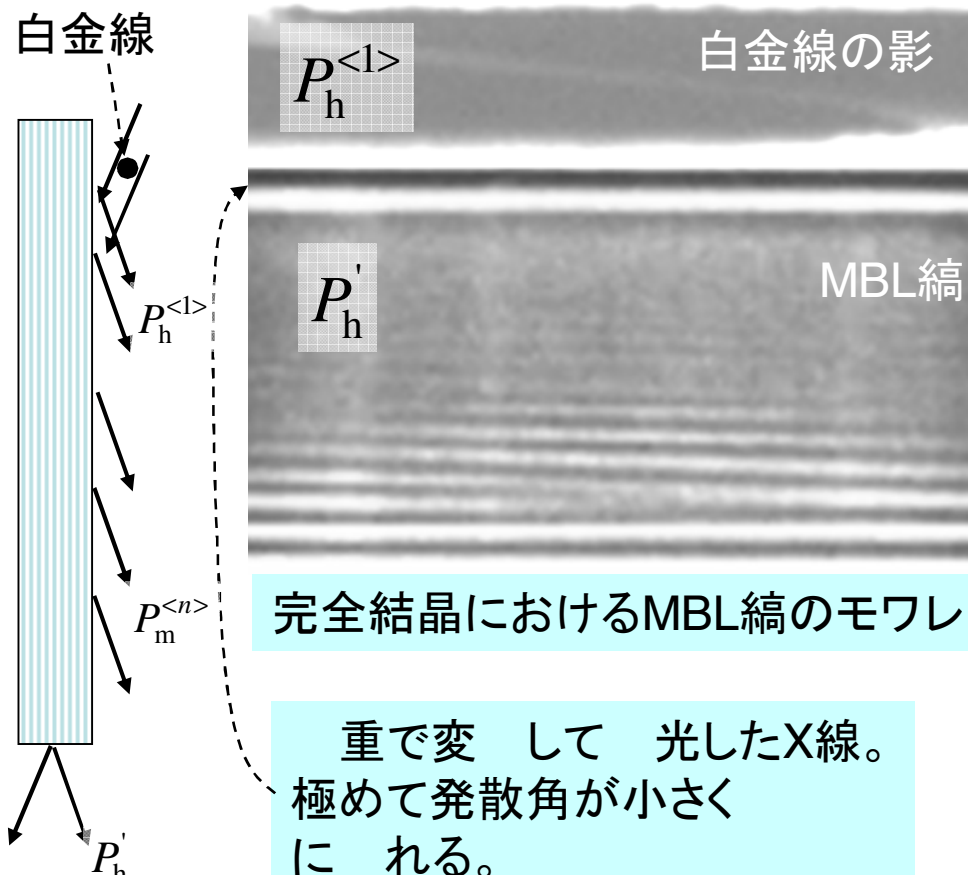
D=10



D=0

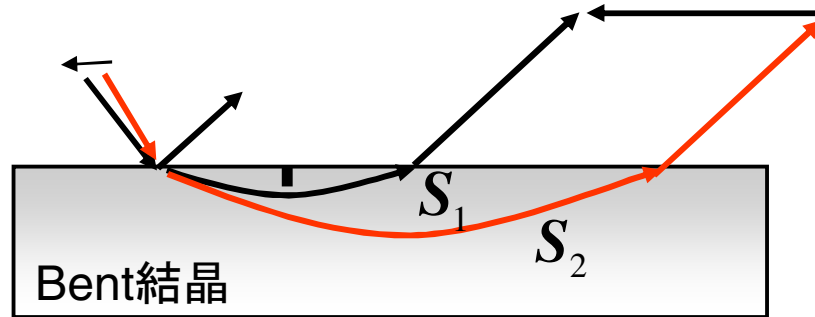


入射ビームを白金線で分割した時の蜃気楼におけるモワレ

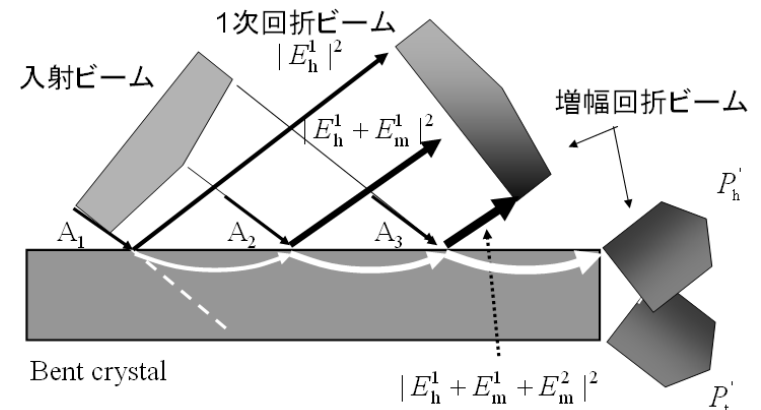


結晶レン ジによる 光及びその の応用

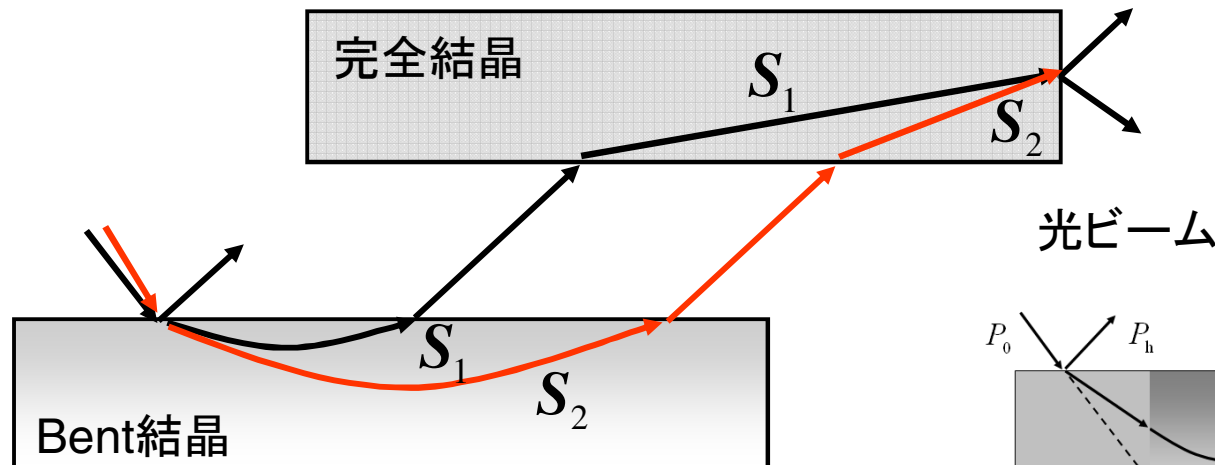
レン 作用による像の拡大



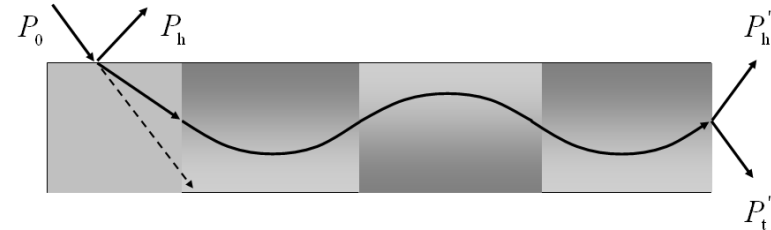
ビーム 度増幅モ ク 一タ



+ セ ングによる 光



光ビーム X線結晶導波



蜃氣樓回折の応用と 点

蜃氣樓回折の応用

- ・結晶 、非常に歪が小さい時の歪率の 定
- ・ 角度分解 モ ク 一タ、ビーム 度増幅効果
- ・ビームスプリ ター
- ・干渉 (グラフへの応用)
- ・結晶レン (分解)
- ・導波

平面波近似:現 を理解するのに 利である。

2波近似 (定 的な一 が くない)

多波近似

球面波近似:定 的な解析に 効。 $x_n^3 = a\beta^{-2}(n - 1/2)$

点:実 の歪率は、 論による歪率より6 大きい。
Bent結晶の側面回折。
BLとBBLの干渉縞、BLとBBLの干渉縞。

蜃氣樓縞、MBL縞、ダークエリアが定 的に える理論